

บทที่ 4

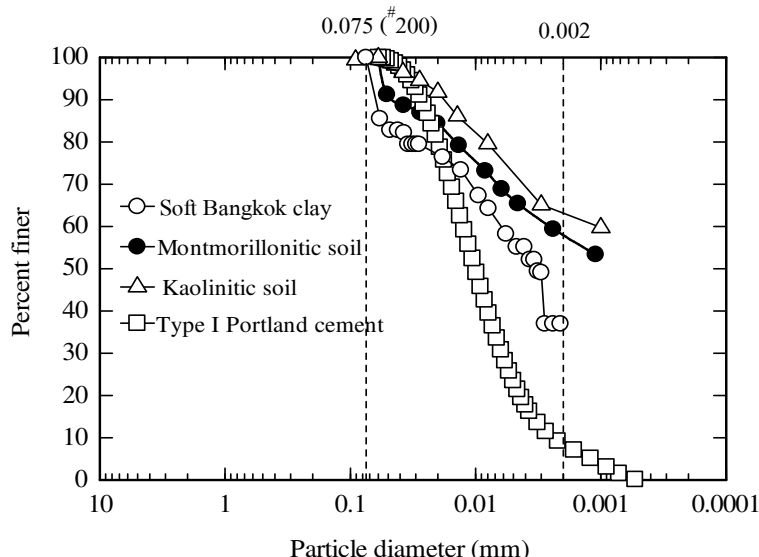
ผลทดสอบและวิเคราะห์ผลการศึกษาของดินซีเมนต์

ผลทดสอบพื้นฐาน

บทนี้จะนำเสนอผลการศึกษาคุณสมบัติพื้นฐานของดินเหนียวบวมตัวต่ำและบวมตัวสูง (Low and high swelling clays) รวมทั้งศึกษาอิทธิพลของการบวมตัวอิสระต่อค่าอัตเตอร์เบริก์ของดินเหนียวและค่ากำลังอัดของดินซีเมนต์ ท้ายสุดนำเสนอสมการความสัมพันธ์ทั่วไปเพื่อใช้คำนวณ กำลังอัดแกนเดียวยของดินซีเมนต์

1. คุณสมบัติทางเคมี คุณสมบัติพื้นฐานและอัตราการบวมตัวอิสระ

การศึกษานี้ทำการทดสอบดินสามชนิดซึ่งคลอปคลุมระดับการบวมตัวตั้งแต่ต่ำจนถึงสูง คือ ดินเหนียวคาโอลิโน่หรือดินขาว ดินเหนียวอ่อนกรุงเทพและดินเหนียวมอนท์มอริโอในที่หรือเรียกดินบนโตไน์ ดินเหนียวอ่อนกรุงเทพ ถูกเก็บที่ความลึก 3 ถึง 4 เมตรจากผิวดินภายในบริเวณสถานที่ก่อสร้างทางหลวงพิเศษ (วงแหวนรอบนอกตะวันออก) อำเภอลำลูกกา จังหวัดกรุงเทพฯ ค่าพิกัดอัตเตอร์เบอร์กหาได้จากการวิธี Fall cone ตามมาตรฐาน BS: 1377- part II, 1990 ค่าขีดจำกัดเหลวของดินเหนียวคาโอลิโน่ ดินเหนียวอ่อนกรุงเทพ และดินเหนียวบนโตไน์ เท่ากับ 42.5, 92.5 และ 222 เปอร์เซ็นต์ ตามลำดับ พิกัดพลาสติกเท่ากับ 27.5, 31.8 และ 36.04 เปอร์เซ็นต์ ตามลำดับและปริมาณความชื้นตามธรรมชาติ เท่ากับ 1.02 ถึง 1.52 เปอร์เซ็นต์, 80 ถึง 90 เปอร์เซ็นต์ และ 4.20 เปอร์เซ็นต์ สำหรับดินเหนียวคาโอลิโน่ ดินเหนียวอ่อนกรุงเทพ และดินเหนียวบนโตไน์ ตามลำดับ คุณสมบัติทางกายภาพและองค์ประกอบทางเคมีของวัสดุทดสอบแสดงดังในตารางที่ 4.1 และการกระจายตัวของวัสดุทดสอบดังในภาพที่ 4.1



ภาพที่ 4.1 การกระจายตัวของดินคาโอลีนท์ ดินเหนียวอ่อนกรุงเทพ ดินเหนียวมอนท์มอริโอ
ไนท์และปูนซีเมนต์ปอร์ตแลนด์ประเภทที่ 1

ตารางที่ 4.1

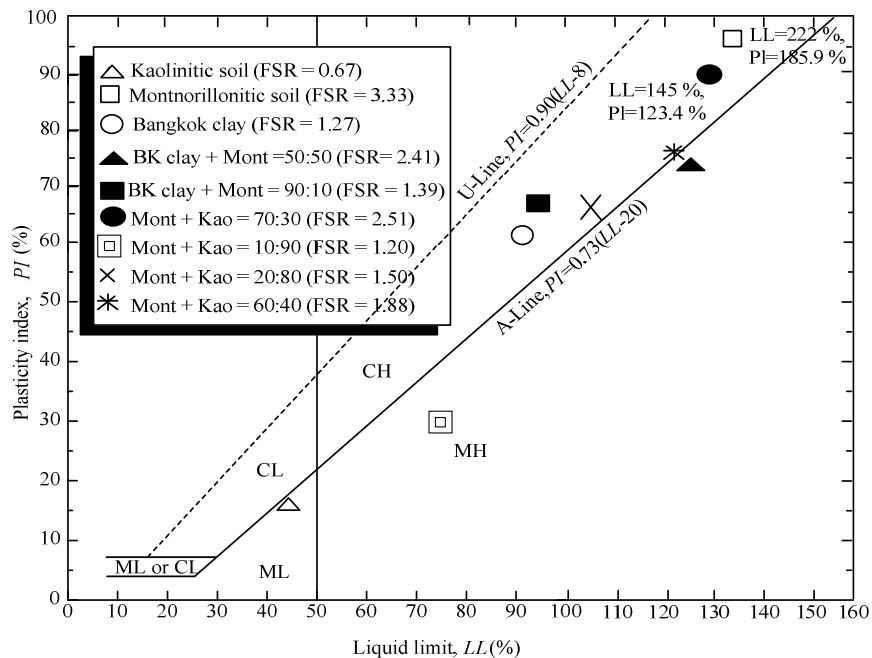
คุณสมบัติทางกายภาพและองค์ประกอบทางเคมีของดินคาโอลีนท์ ดินเหนียวอ่อนกรุงเทพ
ดินเหนียวมอนท์มอริโอไนท์และปูนซีเมนต์ปอร์ตแลนด์ประเภทที่ 1

Chemical Compounds	Portland	Kaolinitic	Montmorillonitic	Soft Bangkok clay
	Cement Type I	Soil	soil	
% SiO_2	20.90	59.79	77.70	63.83
% Al_2O_3	4.76	31.84	10.63	21.34
% Fe_2O_3	3.41	1.59	3.74	8.41
% MgO	1.25	-	0.78	1.54
% CaO	65.41	-	2.96	0.94
% Na_2O	0.24	-	-	0.28
% K_2O	0.35	3.05	0.55	2.45
% SO_3	2.71	0.05	-	1.22
Plastic Limit, %	-	27.5	36.04	31.8
Liquid Limit, %	-	42.5	222	92.5
Initial water content, %	-	1.02-1.52*	4.20*	80-90
Specific Gravity	3.15	2.78	2.69	2.71

หมายเหตุ * ดิน 2 ชนิดนี้เป็นดินการค้า ไม่ใช่ดินธรรมชาติ จากบริษัททำให้มีความถี่แน่นต่ำ

2. ผลของอัตราส่วนการบวมตัวอิสระต่อขีดจำกัดเหลวและดัชนีพลาสติก

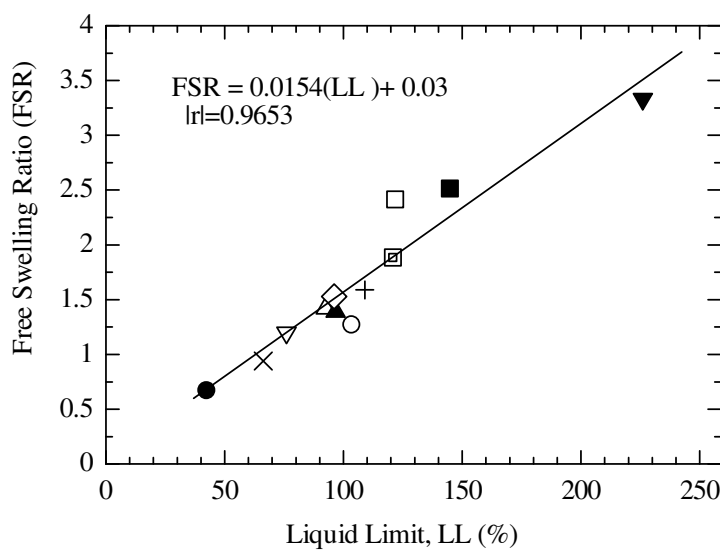
ภาพที่ 4.2 แสดงความสัมพันธ์ของค่าขีดจำกัดเหลวและดัชนีพลาสติกซึ่งมีค่าเพิ่มขึ้นตามค่าการบวมตัวอิสระ



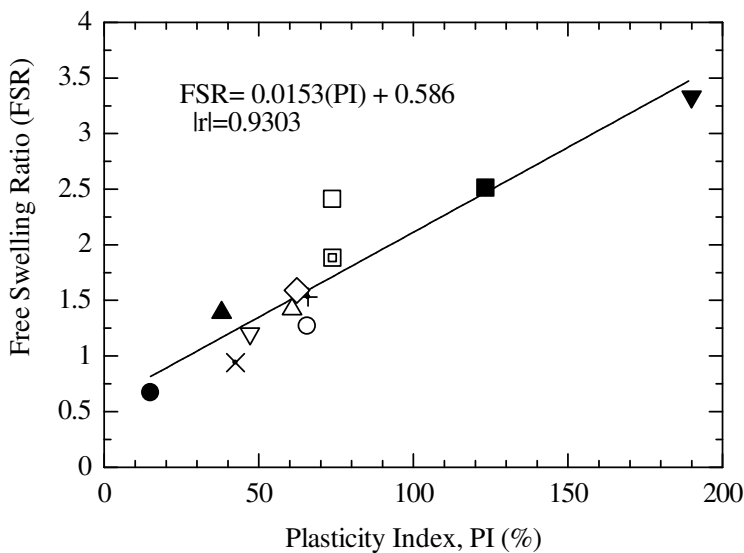
ภาพที่ 4.2 แผนผังดัชนีพลาสติกและขีดจำกัดเหลวของดินเหนียวที่มีค่าอัตราส่วนการบวมตัวอิสระต่าง ๆ

ดังนั้นเราสามารถหาความสัมพันธ์ของขีดจำกัดเหลวและดัชนีพลาสติกของดินกับค่าอัตราส่วนการบวมตัวอิสระได้ดังภาพที่ 4.3 และ 4.4 จะเห็นว่าดินเหนียวที่มีอัตราส่วนการบวมตัวอิสระที่สูงกว่าจะแสดงผลค่าขีดจำกัดเหลวและดัชนีพลาสติกที่สูงกว่า ทั้งนี้ ค่าอัตราส่วนการบวมตัวอิสระสามารถบ่งชี้คุณิตของแร่ดินเหนียวได้ดังนั้นค่าขีดจำกัดเหลวที่สามารถบ่งชี้ได้ เช่น กัน สำหรับดินเหนียวมีแร่อมูลหรือไม่ในปริมาณที่มากกว่าจะส่งผลให้ความสามารถในการดึงดูดโมเลกุลของน้ำได้ดีและทำให้ระยะห่างระหว่างชั้นดินเหนียว (Double Layer) มากขึ้นทำให้ดินเหนียวมีการจัดเรียงตัวในลักษณะแบบขนาด (Dispersed structure) ดังนั้นโมเลกุลของน้ำจึงสามารถเข้าไปแทรกระหว่างแण่ได้ง่าย และส่งผลให้เกิดการบวมตัว (Swelling) อย่างมากเมื่อถูกน้ำและส่งผลให้ดินมีค่าขีดจำกัดเหลวสูง ดังนั้นจะเห็นว่าค่าขีดจำกัดเหลวเป็นคุณสมบัติทางกายภาพและทางเคมี ในทางตรงข้ามหากดินเหนียวมีปริมาณแร่ค่าโอลิโนที่สูงกว่าจะส่งผลให้การดึงดูดกันในน้ำ

ได้เมดีพอ Silva (1974) กล่าวว่าในสารแขวนลอยระหว่างน้ำและอนุภาคดิน (Suspension) อนุภาคดินกับอนุภาคอิสระของน้ำที่ล้อมรอบอนุภาคดินเห็นยิ่งเกิดแรงกระทำซึ่งกันและกันอย่างไม่มีทิศทาง (Random impact) และส่งผลให้ออนุภาคดินเห็นยิ่งเคลื่อนตัวแบบไร้ทิศทาง เรียกว่า การเคลื่อนตัวแบบราวนียน (Brownian movement) การเคลื่อนที่แบบไร้ทิศทางนี้จะทำให้ออนุภาคดินเคลื่อนที่เข้าใกล้กันและอยู่ในสภาพสมดุลด้วยแรงระหว่างอนุภาคดิน (Interparticle force) ดังนั้น พฤติกรรมของดินจะขึ้นอยู่กับแรงสูตริยะระหว่างอนุภาคดิน (Net interparticle force) ถ้าแรงสูตริยะระหว่างอนุภาคดินเป็นแรงดึงดูด (Attractive force) เนื่องจากความเข้มข้นของประจุบวก ออนุภาคดินมีแนวโน้มที่จะเคลื่อนที่เข้าใกล้กันและเกิดการรวมตัวกันเป็นกลุ่มก้อน (Coagulation) จากผลทดสอบดังในภาพที่ 4.3 และ 4.4 ทำให้สามารถประเมินค่าการบรวมตัวอิสระของดินได้เพียงทราบค่าขีดจำกัดเหลวหรือดัชนีพลาสติกของดินเท่านั้น ทั้งนี้ทำให้ทราบพฤติกรรมการรับน้ำหนักของเสาเข็มดินซีเมนต์ที่จะกล่าวในหัวข้อถัดไป



ภาพที่ 4.3 ความสัมพันธ์ของขีดจำกัดเหลวและค่าอัตราส่วนการบรวมตัวอิสระ

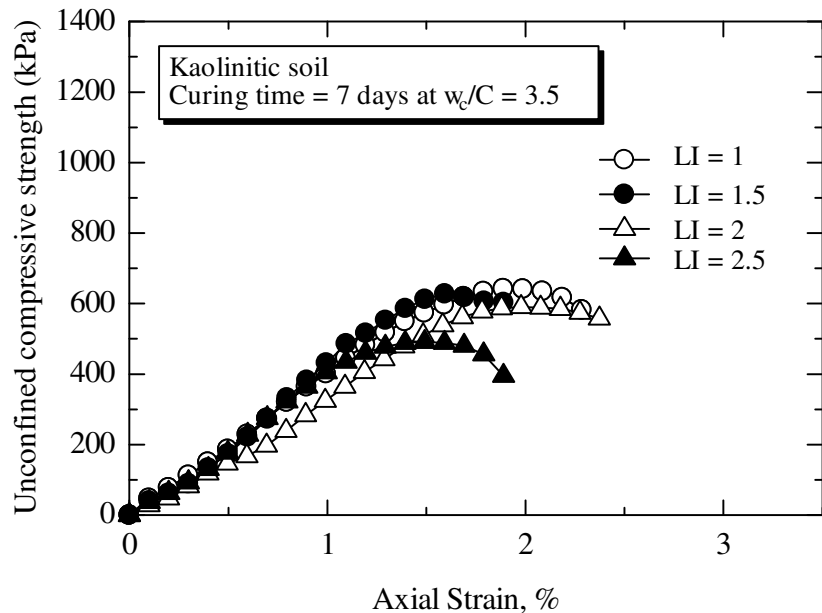


ภาพที่ 4.4 ความสัมพันธ์ของดัชนีพลาสติกและค่าอัตราส่วนการบวมตัวอิสระ

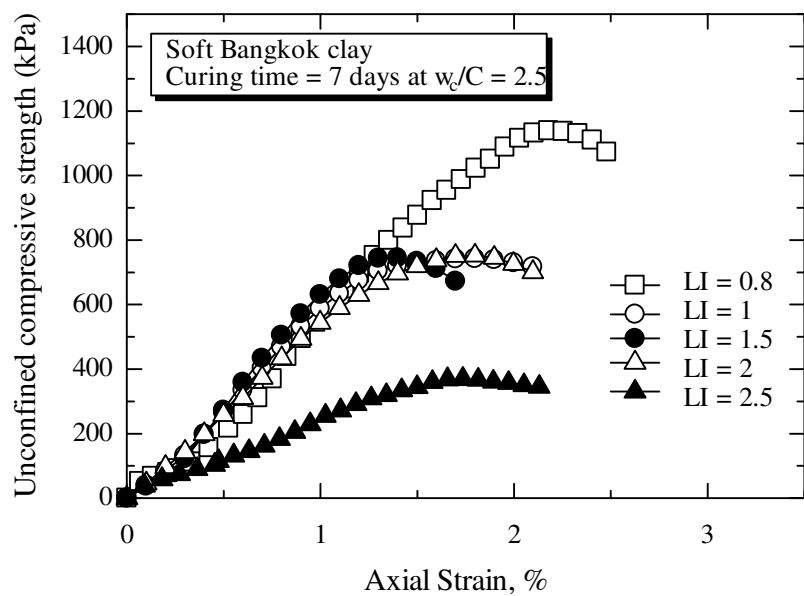
3. ผลของอัตราส่วนการบวมตัวอิสระที่ปริมาณความชื้นต่าง ๆ กับกำลังอัดแกนเดียวของดินซีเมนต์

จากภาพที่ 4.5 ค่ากำลังอัดของดินซีเมนต์ที่อายุบ่ำน 7 วันของดินทั้งที่ไม่มีการบวมตัว (ดินขาวหรือดินคาโอลีโนท์) ดินที่มีการบวมตัวต่ำ (ดินเหนียวอ่อนกรุงเทพ) และดินที่มีการบวมตัวสูง (ดินมอนท์มอร์โลอินท์หรือดินเบนโทไนท์) จะพบว่าดินที่ค่าการบวมตัวอิสระหนึ่ง ๆ ปริมาณความชื้นในช่วงสูง (สูงกว่าและเท่ากับค่าขีดจำกัดเหลว) และช่วงปริมาณความชื้นต่ำ (ต่ำกว่าค่าขีดจำกัดเหลว) จะมีพฤติกรรมด้านกำลังต่างกันกล่าวคือที่ระยะบ่ำนหนึ่ง ๆ สำหรับดินไม่บวมตัวและดินที่มีการบวมตัวต่ำในช่วงปริมาณความชื้นสูง ($LI = 1, 1.5, 2$) ความสัมพันธ์ความเค้นและความเครียดที่เกิดขึ้นมีลักษณะคล้ายกันและมีค่าความเค้นสูงสุดใกล้เคียงกันแม้ว่าดินซีเมนต์จะมีปริมาณความชื้นเริ่มต้นที่แตกต่างกันก็ตามหากแต่ดินมีค่าอัตราส่วนปริมาณความชื้นในดินต่อปริมาณซีเมนต์ที่เท่ากัน สำหรับดินที่มีการบวมตัวสูงพฤติกรรมที่เกิดขึ้นในลักษณะเช่นเดียวกันนั้นจะเกิดขึ้นในช่วงปริมาณความชื้นที่ต่ำกว่า ($LI = 0.6, 0.8, 1$) กล่าวคือดินเบนโทไนท์มีค่ากำลังอัดแกนเดียวของดินซีเมนต์ที่ใกล้เคียงกันแม้ว่าจะมีปริมาณความชื้นเริ่มต้นที่ต่างกันก็ตามในช่วงปริมาณความชื้นเท่ากับ 0.6, 0.8 และ 1 เท่าของดัชนีเหลว ดังในภาพที่ 4.5c จากผลทดสอบข้างต้นนี้ชี้ให้เห็นว่าดินซีเมนต์จะมีช่วงปริมาณความชื้นช่วงหนึ่ง ๆ ที่ไม่มีผลต่อกำลังอัดแกนเดียวของดินซีเมนต์และอัตราส่วนปริมาณความชื้นในดินต่อปริมาณซีเมนต์เป็นตัวแปรเดียวที่ควบคุมกำลังอัด

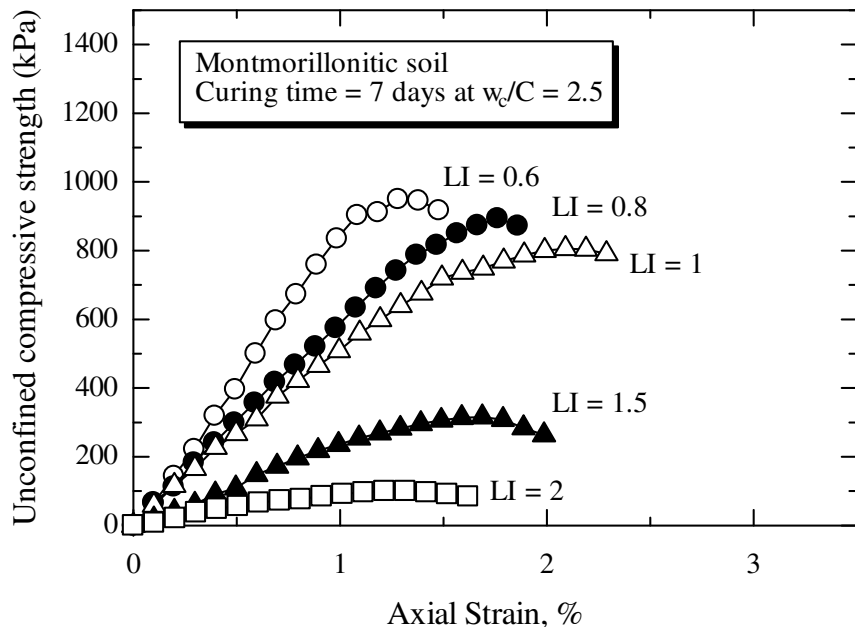
แกนเดี่ยวของดินซีเมนต์ซึ่งให้ผลสอดคล้องกับงานวิจัยในอดีต (Horpibulsuk and Miura, 2001; Miura et al, 2001)



ก) ดินขาวหรือดินคาโอลิโนท์



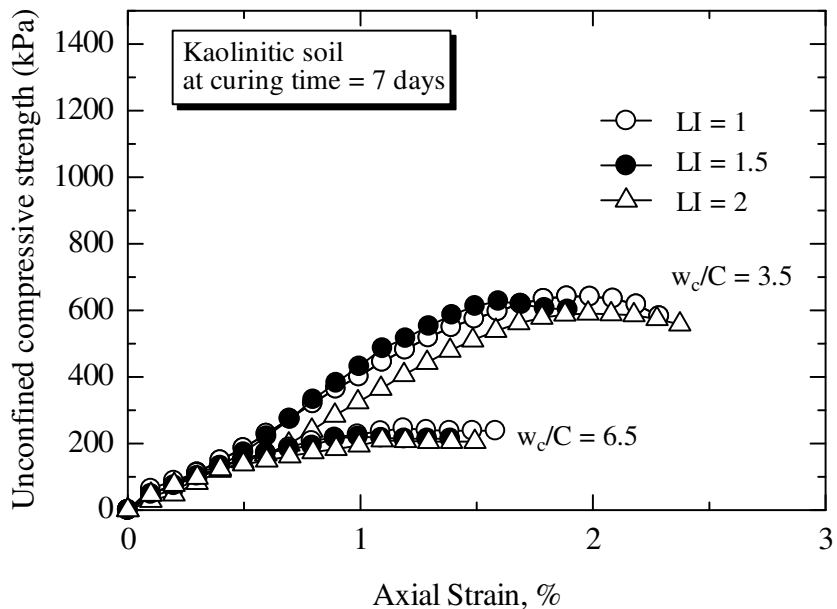
ข) ดินเหนียวอ่อนกรุ่นเทพ



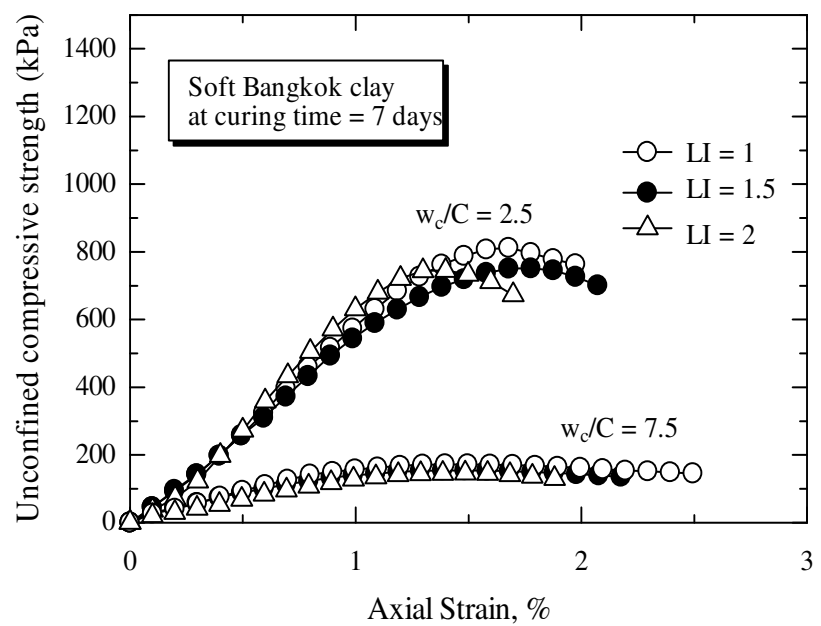
ค) ดินมอนท์มอริลลอนิกหรือดินเบนโගไนท์

ภาพที่ 4.5 กำลังอัดที่อายุปั่น 7 วันของดินคาโอลไนท์ ดินเหนียวกรุงเทพฯ และดินเบนโගไนท์สมชีเมนต์

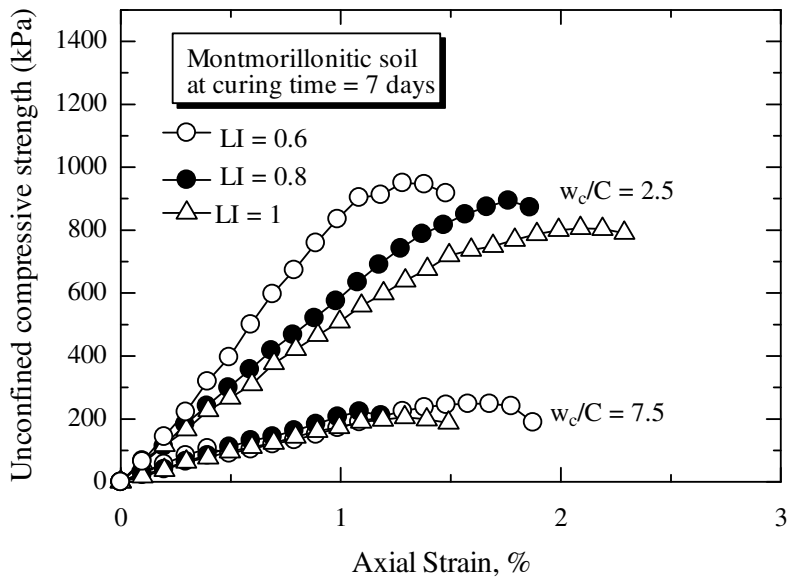
จากผลทดสอบข้างต้นพิจารณาความสัมพันธ์ในช่วงที่มีเพียงตัวแปรหลักตัวเดียวที่เป็นตัวแปรควบคุมกำลังอัดแกนเดียวกับดินชีเมนต์ดังนั้นในภาพที่ 4.6 จะแสดงความสัมพันธ์ความเค้น – ความเครียดที่อายุปั่น 7 วันของดินขาวและดินเหนียวกรุงเทพฯ ที่ค่าดัชนีเหลวเท่ากับ 1 ถึง 2 และค่าดัชนีเหลวเท่ากับ 0.6 ถึง 1 สำหรับดินเบนโ�ไนท์ พบว่าดินชีเมนต์ที่มีอัตราส่วนปริมาณความชื้นต่อชีเมนต์ต่ำกว่าจะให้ค่ากำลังอัดแกนเดียวยิ่งสูงกว่าชี้งสอดคล้องกับงานวิจัยในอดีต (Horpibulsuk and Miura, 2001; Miura et al, 2001) ดังนั้นตัวแปรหลักที่ควบคุมกำลังอัดของดินชีเมนต์จึงผนวกรวมทั้งปัจจัยด้านปริมาณความชื้นซึ่งเป็นตัวควบคุมโครงสร้างดิน แล้วยังมีอิทธิพลต่อปฏิกริยาไออกซิเจนและตัวแปรควบคุมระดับของพันธะเชื่อมประสาณแล้วยังมีอิทธิพลต่อปฏิกริยาไออกซิเจนอีกด้วย แต่ปัจจัยของปริมาณชีเมนต์ที่ใช้ในการทดสอบเนื่องจากปริมาณปูนชีเมนต์จะเป็นตัวแปรควบคุมระดับของพันธะเชื่อมประสาณแล้วยังมีอิทธิพลต่อปฏิกริยาไออกซิเจนอีกด้วย เช่นกัน ดังนั้นอัตราส่วนการบวมตัวอิสระจึงเป็นปัจจัยโดยตรงต่อช่วงปริมาณความชื้นที่ไม่มีผลต่อกำลังของดินชีเมนต์ เพราะอัตราส่วนการบวมตัวอิสระมีผลอย่างมากต่อชี้งจำกัดเหลวซึ่งเป็นคุณสมบัติที่เกี่ยวเนื่องกับลักษณะการไหลหรือความสามารถในการดึงดูดโมเลกุลของน้ำและเป็นปัจจัยทางข้อมูลกับกำลังอัดแกนเดียวกับดินชีเมนต์ซึ่งจะกล่าวต่อไป



ก) ดินขาวหรือดินคาโอลิ้นท์



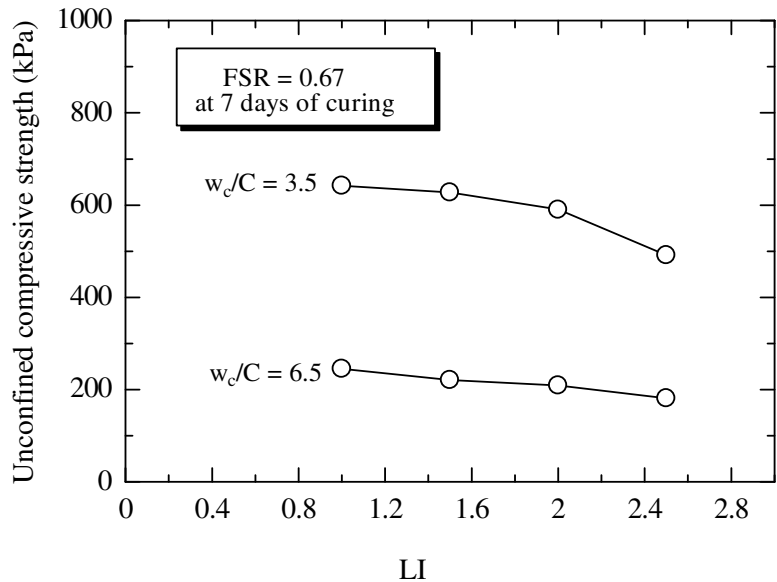
ข) ดินเหนียวอ่อนกรุ่นเทพ



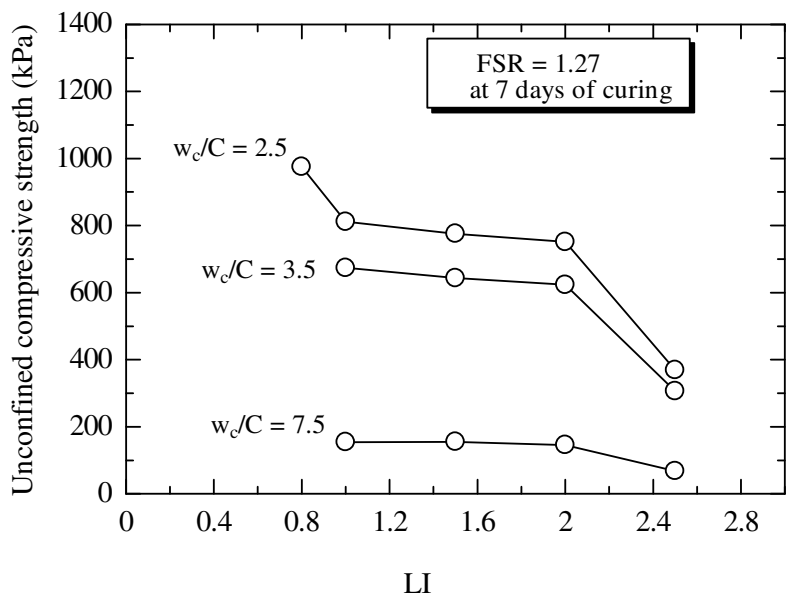
ค) ดินมอนท์มอริลลอนิกหรือดินเบนโทไนท์

ภาพที่ 4.6 กำลังอัดที่อายุบ่ม 7 วันของดินคาโอลิไนท์ ดินเหนียวกรุงเทพฯ และ ดินเบนโทไนท์ผสมซีเมนต์ที่อัตราส่วนปริมาณความชื้นต่อซีเมนต์ต่างๆ

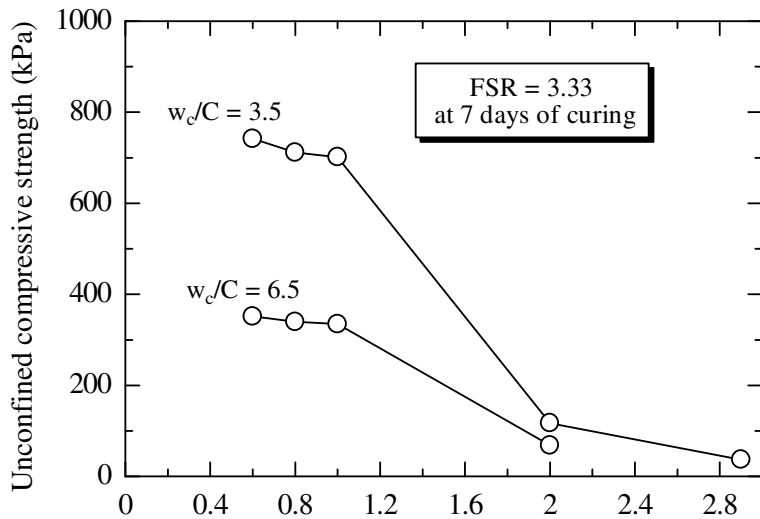
จากผลทดสอบข้างต้นของดินที่มีค่าการบรวมตัวอิสระที่แตกต่างกันทั้งสามชนิดพบว่าที่การ บรวมตัวหนึ่งๆ จะมีช่วงปริมาณความชื้นที่ไม่มีผลต่อกำลังอัดแกนเดียวกองดินซีเมนต์แตกต่างกัน ความสัมพันธ์ของกำลังอัดแกนเดียวกองดินซีเมนต์กับปริมาณความชื้นที่ดัชนีเหลวต่างๆ และค่า อัตราส่วนปริมาณความชื้นในดินต่อซีเมนต์หนึ่งๆ ของดินทั้งสามประเภท (ดินขาว ดินเหนียว กรุงเทพฯ และดินเบนโทไนท์) ที่อายุบ่ม 7 วัน แสดงได้ดังภาพที่ 4.7 จะเห็นว่าในช่วงปริมาณ ความชื้นสูง ($LI = 1, 1.5, 2$) สำหรับดินที่ไม่มีการบรวมตัวและดินที่มีการบรวมตัวต่ำ ($FSR < 1.5$ ตาม Prakash and Sridharan , 2004)) ให้ค่ากำลังอัดแกนเดียวยังไม่แตกต่างกันมากนัก หลังจากนั้น ($LI = 2.5$) จะมีกำลังอัดแกนเดียวยังของดินซีเมนต์ลดลงอย่างเห็นได้ชัดดังในภาพที่ 4.7x ในกรณี ของดินที่มีการบรวมตัวสูง ($FSR > 1.5$ ตาม Prakash and Sridharan , 2004)) พบร่วงปริมาณ ความชื้นที่ไม่มีผลต่อกำลังอัดแกนเดียวกองดินซีเมนต์กลับลดลงมากอยู่ในช่วง $0.6 \text{ ถึง } 1$ เท่า ของดัชนีเหลว ดังในภาพที่ 4.7c ดังนั้นดินที่มีค่าการบรวมตัวอิสระที่สูงขึ้นจึงมีแนวโน้มที่ร่วง ปริมาณความชื้นที่ไม่มีผลต่อกำลังอัดแกนเดียวกองดินซีเมนต์ลดลง



ก) ดินเหนียวคาโอล์ไนท์ (ดินขาว) ที่มีค่าการบวมตัวอิสระเท่ากับ 0.67

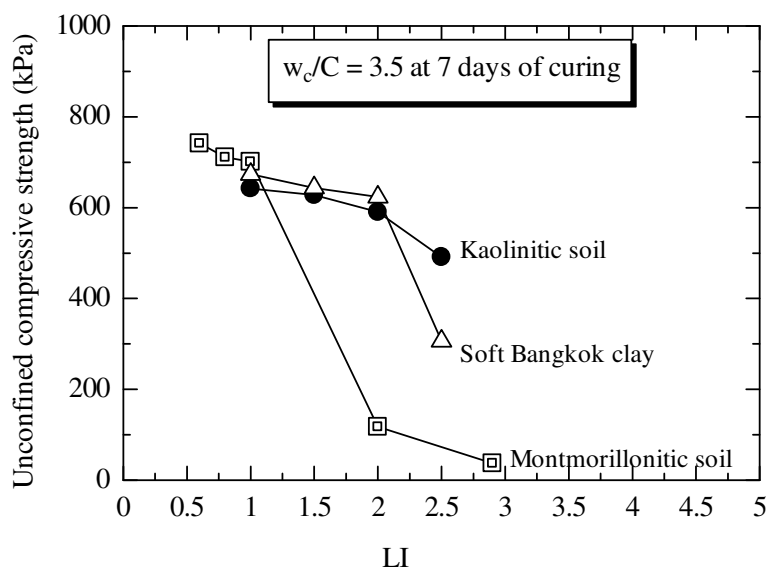


ข) ดินเหนียวอ่อนกรุ่นเทพที่มีค่าการบวมตัวอิสระเท่ากับ 1.27



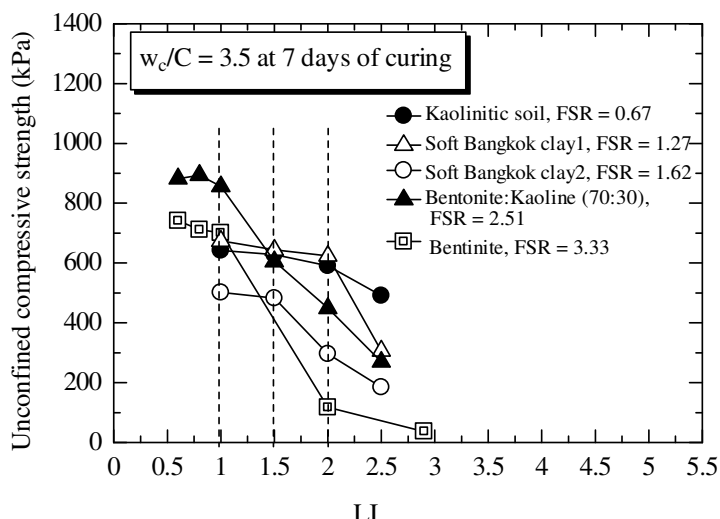
ค) ดินเบนโนท์ที่มีค่าการบวมตัวอิสระเท่ากับ 3.33

ภาพที่ 4.7 ความสัมพันธ์ระหว่างดัชนีเหลวของดินที่มีค่าการบวมตัวอิสระต่าง ๆ กับค่ากำลังอัดของดินซีเมนต์ที่รักษาไว้ 7 วัน



ภาพที่ 4.8 ค่ากำลังอัดของดินคาโอลิเนท ดินเหนียวอ่อนกรุ่นเทพ และดินเบนโนท์ที่ผ่านซีเมนต์กับค่าดัชนีเหลว ที่ $w_c/C = 3.5$ ที่อายุปั่น 7 วัน

ภาพที่ 4.8 แสดงความสัมพันธ์ของกำลังอัดแกนเดียวของดินขาว ดินเหนียวอ่อนกรุงเทพ และดินเบนโถในที่ผสมซีเมนต์ที่มีค่าอัตราส่วนปริมาณความชื้นในดินต่อซีเมนต์เท่ากับ 3.5 ที่ระยะเวลา บ่ม 7 วัน พบว่ากำลังอัดแกนเดียวของดินไม่บรวมตัวถึงบรวมตัวต่ำ (ดินขาวและดินกรุงเทพฯ) ให้ค่า กำลังอัดใกล้เคียงกันในช่วงปริมาณความชื้นเท่ากับ 1 ถึง 2 เท่าของดัชนีเหลว และเท่ากับ 0.6 ถึง 1 เท่าของดัชนีเหลวสำหรับดินบรวมตัวสูง (ดินเบนโถในท์) ดังนั้นในการพิจารณาสมการทำนาย กำลังอัดแกนเดียวของดินซีเมนต์จำเป็นต้องแบ่งพิจารณาตามพฤติกรรมการบรวมตัวของดิน เนื่องจากมีช่วงปริมาณความชื้นที่ไม่ควบคุมกำลังในช่วงปริมาณความชื้นสูงและต่ำ และเพื่อกำจัด ผลของปริมาณความชื้นโดยมีเพียงตัวแปรหลักที่ควบคุมกำลังอัดแกนเดียวของดินซีเมนต์คือ อัตราส่วนปริมาณความชื้นในดินต่อปริมาณซีเมนต์เท่านั้นซึ่งจะกล่าวในหัวข้อดังไป แต่สิ่งหนึ่งที่ ควรพิจารณา ก่อนการออกแบบส่วนผสมของดินซีเมนต์คือการหาช่วงปริมาณความชื้นที่ไม่มีผลต่อ กำลังอัดแกนเดียวของดินซีเมนต์ที่มีค่าการบรวมตัวอิสระนี้ ๆ ซึ่งผู้เขียนได้ทำการทดสอบหาช่วง ปริมาณความชื้นที่ไม่มีผลต่อกำลังอัดแกนเดียวของดินซีเมนต์ในช่วงปริมาณความชื้นเริ่มต้น เท่ากับ 0.6, 0.8, 1, 1.5, 2 และ 2.5 เท่าของดัชนีเหลวเท่านั้นกับดินที่มีการบรวมตัวอิสระเท่ากับ 0.67 (ดินคาโอลิโนท์), 1.27 (ดินกรุงเทพฯ:1 บริเวณcombe ลักษณะ), 1.62 (ดินกรุงเทพฯ:2 บริเวณ ด้านเก็บเงินทับช้าง), 2.51 (ดินคาโอลิโนท์:ดินเบนโถในท์ = 30:70) และ 3.33 (ดินเบนโถในท์) ได้ผลทดสอบดังในภาพที่ 4.9 ดังนั้นผู้เขียนจะขอแนะนำช่วงปริมาณความชื้นที่เหมาะสมจาก ข้อกำหนดของการทดสอบดังข้างต้นที่เป็นช่วงปริมาณความชื้นที่ไม่มีผลต่อกำลังอัดแกนเดียวของ ดินซีเมนต์ดังตารางที่ 4.2



ภาพที่ 4.9 ค่ากำลังอัดแกนเดียวของดินที่มีการบรวมตัวอิสระต่าง ๆ ผสมซีเมนต์ กับค่าดัชนีเหลว ที่ $w_c/C = 3.5$ ที่อายุบ่ม 7 วัน

ตารางที่ 4.2

ช่วงปริมาณความชื้นที่ไม่มีผลต่อกำลังอัดแกนเดียวของดินซีเมนต์ที่อัตราส่วนปริมาณน้ำในดินต่อซีเมนต์ค่าหนึ่ง ๆ ($w/C = 3.5$) ของดินที่มีการบวมตัวอิสระต่าง ๆ ที่ระยะเวลา 7 วัน

อัตราส่วนการบวมตัวอิสระ, FSR	ช่วงปริมาณความชื้นที่ไม่มีผลต่อกำลังอัด ของดินซีเมนต์
0.67	(1 – 2) LI
1.27	(1 – 2) LI
1.62	(1 – 1.5) LI
2.51	(0.6 - 1) LI
3.33	(0.6 - 1) LI

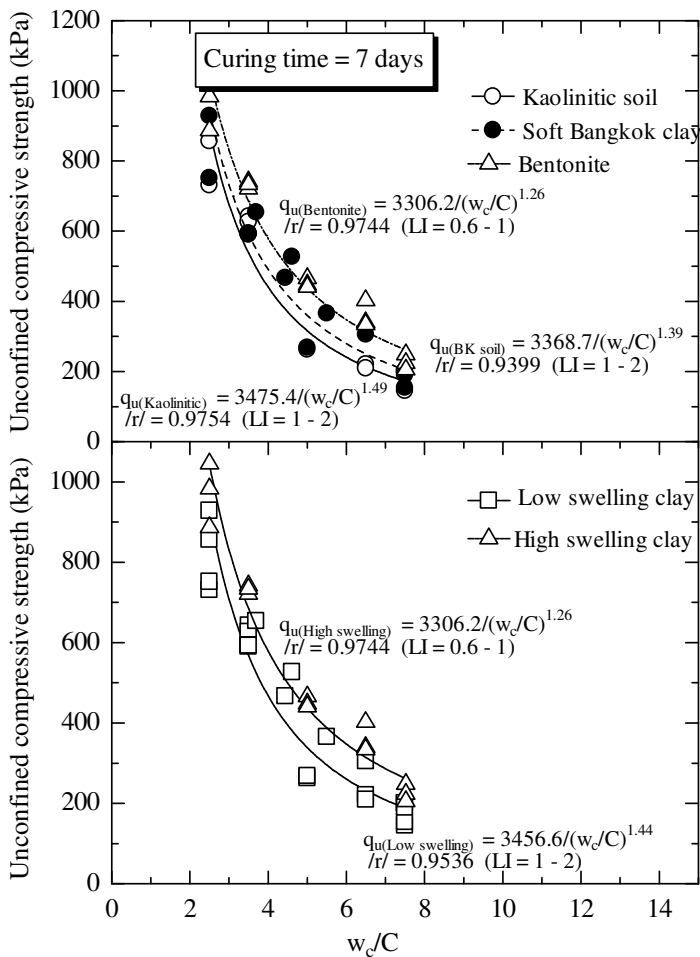
ทั้งนี้หากต้องการได้ปริมาณความชื้นวิกฤต (Critical water content, w_c) ซึ่งเป็นปริมาณความชื้นที่มากที่สุดที่ไม่มีผลต่อกำลังอัดของดินซีเมนต์แล้วจำเป็นต้องทำการศึกษาเพิ่มเติมโดยการเปลี่ยนแปลงช่วงของปริมาณความชื้นเริ่มต้นให้แตกต่างกันน้อยลง ($\Delta LI < 0.5$) เพื่อให้ได้ผลที่ถูกต้องและแม่นยำยิ่งขึ้น ดังนั้นสรุปได้ว่าอัตราส่วนการบวมตัวอิสระของดินมีผลโดยตรงต่อการเปลี่ยนแปลงปริมาณความชื้นของดินซึ่งส่งผลต่อการเปลี่ยนแปลงค่าขีดจำกัดเหลวและดัชนีพลาสติก

การวิเคราะห์ผลกำลังอัดแกนเดียวของดินซีเมนต์

1. ความสัมพันธ์ของอัตราส่วนปริมาณความชื้นในดินต่อปริมาณซีเมนต์กับกำลังอัด

ภาพที่ 4.10 แสดงกำลังอัดแกนเดียวและอัตราส่วนปริมาณความชื้นในดินต่อปริมาณซีเมนต์ที่ระยะเวลา 7 วัน พบร่วมกันในที่จะให้ค่ากำลังอัดแกนเดียวของดินซีเมนต์สูงที่สุดทั้งนี้อาจเป็นเพราะดินบนทรายที่มีช่วงปริมาณความชื้นที่ไม่ควบคุมกำลังอัดของดินซีเมนต์ในช่วงต่ำ ($LI = 0.6 – 1$) ซึ่งยังคงอยู่ในสภาพพลาสติกถึงกำลังจะเหลว ในทางตรงกันข้ามสำหรับดินคาโอลิในที่และดินเหนียวอ่อนกรุเทพ ซึ่งมีช่วงปริมาณความชื้นที่ไม่มีผลต่อกำลังอัดแกนเดียวของดินซีเมนต์เท่ากับ 1 ถึง 2 เท่าของดัชนีเหลวนั้นพบว่าดินคาโอลิในที่ให้ค่ากำลังอัดต่ำที่สุด จากผลทดสอบข้างต้นผู้เขียนจะแยกวิเคราะห์หาสมการทำนายกำลังอัดแกนเดียวของดินซีเมนต์เป็น 2

ส่วนตามประเภทของการบวมตัวคือ 1) ดินที่มีการบวมตัวสูง และ 2) ดินที่ไม่มีการบวมตัวถึงมีการบวมตัวต่ำ ดังนั้นในภาพที่ 4.11 แสดงความสัมพันธ์ของกำลังอัดแกนเดียวกับดินเหนียวบวมตัวต่ำผ่านสมมติฐานที่กับตัวแปรหลักอัตราส่วนปริมาณความชื้นในดินต่อซีเมนต์ที่อยู่ปั่นต่าง ๆ และพบว่าที่ระยะเวลาบ่มหนึ่ง มีความสัมพันธ์แสดงดังสมการที่ 4.1



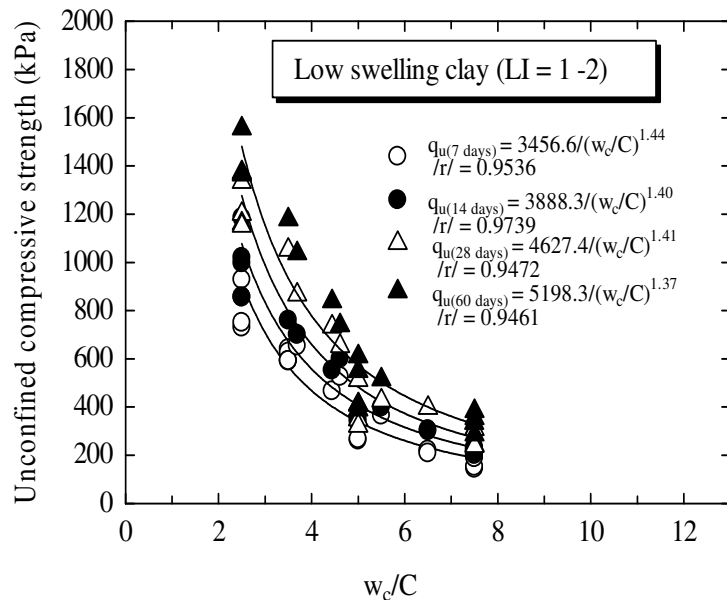
ภาพที่ 4.10 กำลังอัดแกนเดียวกับดินซีเมนต์กับอัตราส่วนปริมาณความชื้นในดินต่อซีเมนต์ของดินคาโอลินท์ ดินเหนียวอ่อนกรุ่นเทพ และดินแบนโทไนท์ที่อยู่ปั่น 7 วัน

ภาพที่ 4.11 พบว่าดินซีเมนต์มีความสัมพันธ์กับอัตราส่วนปริมาณความชื้นในดินต่อซีเมนต์ในความสัมพันธ์ดังกล่าวสามารถแสดงได้ในฟังก์ชันกำลัง (Power Function) ดังสมการที่ 4.1

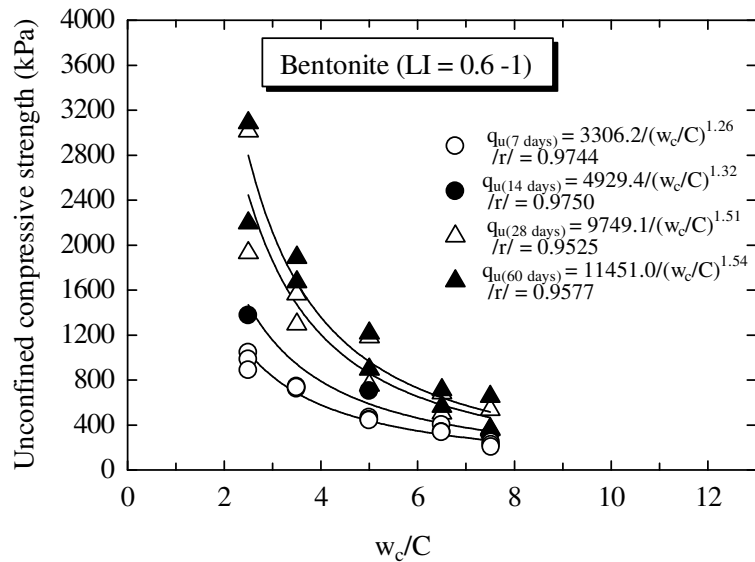
$$q_u = \frac{A}{\left(\frac{w_c}{C}\right)^B} \quad (4.1)$$

เมื่อ q_u คือกำลังอัดแกนเดี่ยวที่ระยะบ่อมค่าหนึ่ง (kPa) A และ B เป็นค่าคงที่ ซึ่งแปรผันตามชนิดของดิน B จะเป็นตัวแปรที่ควบคุมการเปลี่ยนแปลงของ w_c/C ต่อกำลังอัด ค่า B ยิ่งมาก การเปลี่ยนแปลงจะมีค่ามากตาม สำหรับดินชนิดหนึ่งผสานซีเมนต์ A มีค่าเพิ่มขึ้นตามอายุบ่อม อัตราการเปลี่ยนแปลงของ w_c/C ต่อกำลังอัดแกนเดี่ยว จะแปรผันอย่างมากกับประเทาของปูนซีเมนต์ (Horribuluk et al., 2003) แต่เนื่องจากปูนซีเมนต์ที่ใช้ในการทดสอบสอบเป็นปูนซีเมนต์ประเทาหนึ่งดังนั้น B จึงมีค่าใกล้เคียงกัน สำหรับดินทุกชนิด

จากการที่ 4.11 จะเห็นว่า B มีค่าใกล้เคียงกันและจากเหตุผลข้างต้น ดังนั้นงานวิจัยจึงประยุกต์ใช้พารามิเตอร์ B ประมาณคงที่และมีค่าเท่ากับ 1.40 สำหรับดินบ่อมตัวต่ำและสูง และที่ระยะเวลาหนึ่ง ๆ มีพารามิเตอร์ A คงที่ ด้วยเหตุนี้เอง อัตราส่วนกำลังอัดแกนเดี่ยวของดินซีเมนต์ที่ปริมาณความชื้นเท่ากับ 1 ถึง 2 เท่าของดัชนีเหลวสำหรับดินบ่อมตัวต่ำและปริมาณความชื้นเท่ากับ 0.6 ถึง 1 เท่าของดัชนีเหลวสำหรับดินบ่อมตัวสูง ที่ระยะบ่อมค่าหนึ่งสามารถแสดงได้ดังสมการที่ 4.2



ก) ดินที่มีการบ่อมตัวต่ำ (ดินเหนียวอ่อนกรุ่นเทพและดินคาโอลิโนท์)



๑) ดินที่มีการบวมตัวสูง (ดินเปนโගโนท์)

ภาพที่ 4.11 กำลังอัดแกนเดี่ยวของดินเหนียวผสานซีเมนต์กับ w_c/C ที่อายุบ่มต่าง ๆ

สำหรับดินบวมตัวตื้น

$$\left\{ \frac{q_{(w_c/C)_1}}{q_{(w_c/C)_2}} \right\} = \left[\frac{\cancel{A}/(w_c/C)_1^{1.40}}{\cancel{A}/(w_c/C)_2^{1.40}} \right] = \left[\frac{(w_c/C)_2}{(w_c/C)_1} \right]^{1.40} \quad (4.2\pi)$$

สำหรับดินบวมตัวสูง

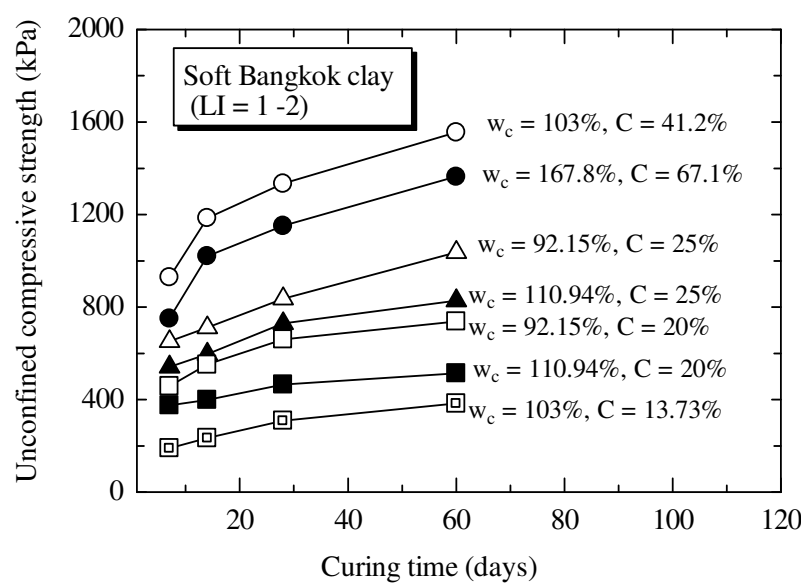
$$\left\{ \frac{q_{(w_c/C)_1}}{q_{(w_c/C)_2}} \right\} = \left[\frac{\cancel{A}/(w_c/C)_1^{1.40}}{\cancel{A}/(w_c/C)_2^{1.40}} \right] = \left[\frac{(w_c/C)_2}{(w_c/C)_1} \right]^{1.40} \quad (4.2\varphi)$$

เมื่อ $q_{(w_c/C)_1}$ คือกำลังอัดแกนเดี่ยวที่ต้องการทราบค่าที่อัตราส่วนปริมาณความชื้นต่อปริมาณซีเมนต์เท่ากับ $(w_c/C)_1$ และ $q_{(w_c/C)_2}$ คือกำลังอัดแกนเดี่ยวที่ทราบค่าที่อัตราส่วนปริมาณความชื้นต่อปริมาณซีเมนต์เท่ากับ $(w_c/C)_2$

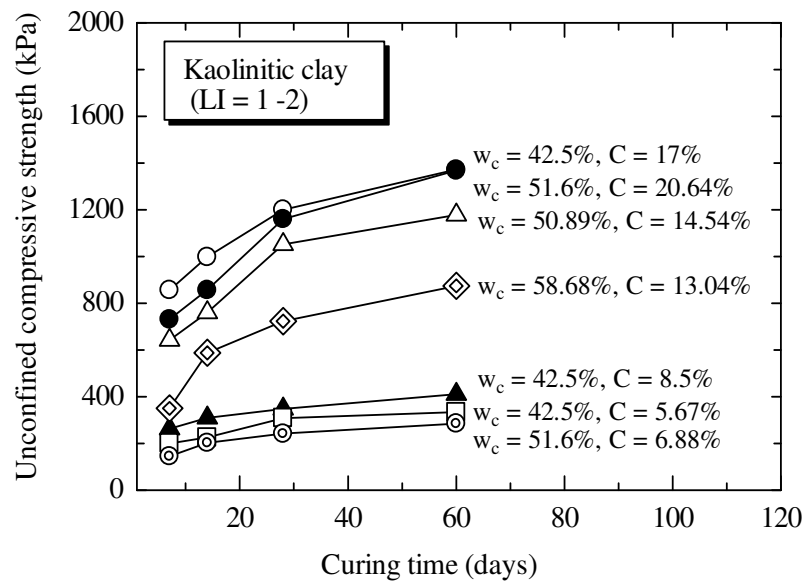
ความสัมพันธ์ดังกล่าวข้างต้นสามารถใช้ทำนายกำลังอัดแกนเดียวของดินซีเมนต์ในช่วงปริมาณความชื้นที่ไม่มีผลต่อกำลังและอัตราส่วนความชื้นในดินต่อปริมาณซีเมนต์ได้ เมื่อทราบกำลังอัดแกนเดียวที่อัตราส่วนการผสมหนึ่ง ๆ ($w_c/C = 2.5 - 7.5$) ที่ช่วงเวลาหนึ่ง ๆ ซึ่งข้อจำกัดของความสัมพันธ์ดังกล่าวข้างต้นคือไม่สามารถประมาณกำลังอัดแกนเดียวของดินซีเมนต์บดอัดที่อายุบ่อมได้ ได้ ซึ่งในทางปฏิบัติ อาจมีสถานการณ์ที่เราจำเป็นต้องเพิ่มปริมาณซีเมนต์เพื่อลดอายุบ่อม แต่ยังคงได้กำลังอัดตามต้องการ ด้วยเหตุนี้ จำเป็นต้องมีการศึกษาอิทธิพลของอายุบ่อมต่อกำลังอัดแกนเดียว พร้อมทั้งสร้างความสัมพันธ์ระหว่างกำลัง ปริมาณซีเมนต์ ปริมาณน้ำในดิน และอายุบ่อม

2. ความสัมพันธ์ระหว่างกำลังอัดแกนเดียวและระยะเวลาบ่อม

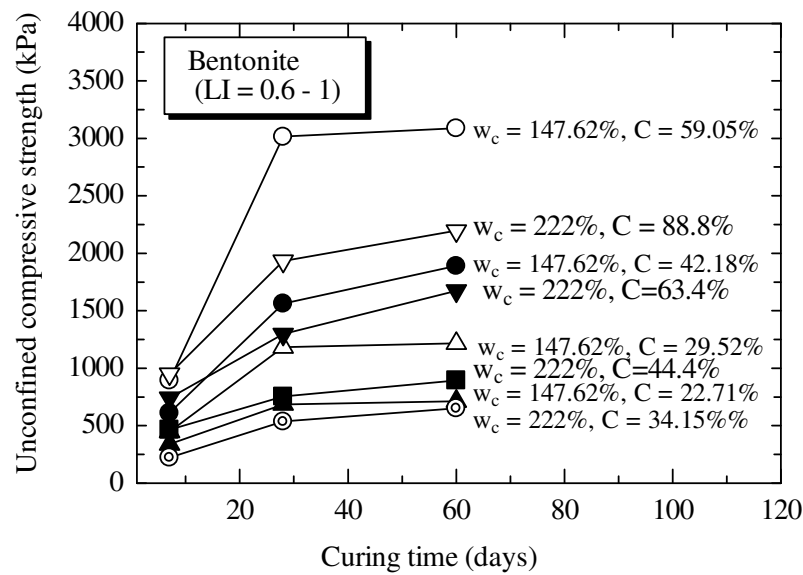
ภาพที่ 4.12 แสดงความสัมพันธ์ระหว่างกำลังอัดแกนเดียวกับอายุบ่อม ที่ปริมาณความชื้นในช่วง 1 ถึง 2 เท่าของดัชนีเหลวสำหรับดินเหนียวอ่อนกรุ่นเทพและดินคาโอลีนท์ และปริมาณความชื้นเท่ากับ 0.6 ถึง 1 เท่าของดัชนีเหลวสำหรับดินบนโภไนท์ ที่ปริมาณซีเมนต์ต่างๆ



ก) ดินเหนียวอ่อนกรุ่นเทพ



ข) ดินขาวหรือดินคาโอลีโนท์



ค) ดินเบนโทไนท์

ภาพที่ 4.12 ความสัมพันธ์ระหว่างกำลังอัดแกนเดี่ยวและอายุบ่มของดินเหนียวอ่อนกรุงเทพ
ดินคาโอลีโนท์ และดินเบนโทไนท์สมชีเมนต์

จากภาพที่ 4.11 ถึง 4.12 จะเห็นได้ว่า ที่ค่า μ_c/C ค่าหนึ่ง การเพิ่มขึ้นของกำลังอัดแกนเดียวกับความดันด้วยตัวแปร A เนื่องจากตัวแปร B มีค่าประมาณคงที่ ด้วยเหตุนี้เอง ความสัมพันธ์ทั่วไประหว่างการพัฒนากำลังและอายุบ่มสามารถแสดงได้ดังสมการต่อไปนี้

$$\frac{q_{D1}}{q_{D2}} = \frac{A_{D1}}{A_{D2}} \quad (4.3)$$

เมื่อ q_{D1} คือกำลังอัดแกนเดียวที่ต้องทราบค่าที่อายุบ่ม D_1 วัน q_{D2} คือกำลังอัดแกนเดียวที่ทราบค่าที่อายุบ่ม D_2 วัน และ A_{D1} และ A_{D2} คือค่าของ A ที่สอดคล้องกับ D_1 และ D_2 ตามลำดับ ดังได้กล่าวแล้วข้างต้นว่า ค่าของ A จะมีความแตกต่างกันตามแต่ชนิดของดิน และอายุบ่ม แต่อย่างไรก็ตาม อัตราการเพิ่มขึ้นของกำลังอัดแกนเดียวต่อเวลาควรจะต้องมีค่าเท่ากัน สำหรับดินซีเมนต์ทุกชนิดตามแต่พฤติกรรมของการบรวมตัวคือการบรวมตัวต่ำและสูง เนื่องจากปฏิกิริยาไขเดรชันเป็นตัวแปรหลักในการควบคุมอัตราการเพิ่มขึ้นของกำลังอัด ด้วยเหตุนี้เอง สมการดังกล่าวข้างต้นจึงเป็นสมการเอกภาพสำหรับดินซีเมนต์ที่มีการบรวมตัวต่ำและสูง ในทางปฏิบัติ จะเป็นประโยชน์อย่างยิ่ง ถ้าเราสามารถประมาณกำลังอัดแกนเดียวของดินซีเมนต์ที่เวลาใดๆ ในพจน์ของอายุบ่มเพียงอย่างเดียว ความพยายามดังกล่าวได้รับการจัดทำขึ้นโดยอาศัยสมนติฐานข้างต้น ดังแสดงในภาพที่ 4.13 ซึ่งแสดงความสัมพันธ์ระหว่างกำลังอัดแกนเดียวและลักษณะการวิลีมของอายุบ่ม ของดินที่มีการบรวมตัวต่ำ ซึ่งได้นำผลทดสอบดินกรุงเทพฯ ผสมซีเมนต์จากงานศึกษาในอดีต Uddin, 1994 และรายงานผลการออกแบบส่วนผสมในการก่อสร้างเสาเข็ม ดินซีเมนต์โครงการก่อสร้างทางหลวงพิเศษกรุงเทพฯ - ชลบุรี ร่วมกับผลทดสอบจากการศึกษาวิจัยนี้ ถึงแม้ว่าความสัมพันธ์เชิงเส้นตรงที่ได้จะมีความชันแตกต่างกัน ตามแต่ชนิดของดิน ปริมาณความชื้น ปริมาณซีเมนต์ และอายุบ่ม แต่อย่างไรก็ตาม โดยอาศัยการ Normalization อิทธิพลของตัวแปรดังกล่าวจะได้รับการพิจารณาและสามารถแสดงโดยสมการเส้นตรงเพียงเส้นเดียว ในภาพที่ 4.13 ดังสมการต่อไปนี้

$$\frac{q_D}{q_{28}} = a + b \ln D \quad (4.4)$$

เมื่อ q_D คือกำลังอัดแกนเดียวของดินซีเมนต์ที่ระบุบ่ม D วันใดๆ q_{28} คือกำลังอัดแกนเดียวของดินซีเมนต์ที่ระบุบ่ม 28 วัน a และ b เป็นค่าคงที่ จากการศึกษาพบว่า a และ b มีค่า

เท่ากับ 0.2132 และ 0.2394 ตามลำดับ สำหรับдинเนี่ยบวนตัวต่ำผสมซีเมนต์ และ -0.0726 และ 0.303 ตามลำดับ สำหรับдинเบนโท์ (динที่มีการบวนตัวสูง) ผสมซีเมนต์ เราจะได้สมการ การเพิ่มขึ้นของกำลังอัดแกนเดียวยอดต่อไปนี้

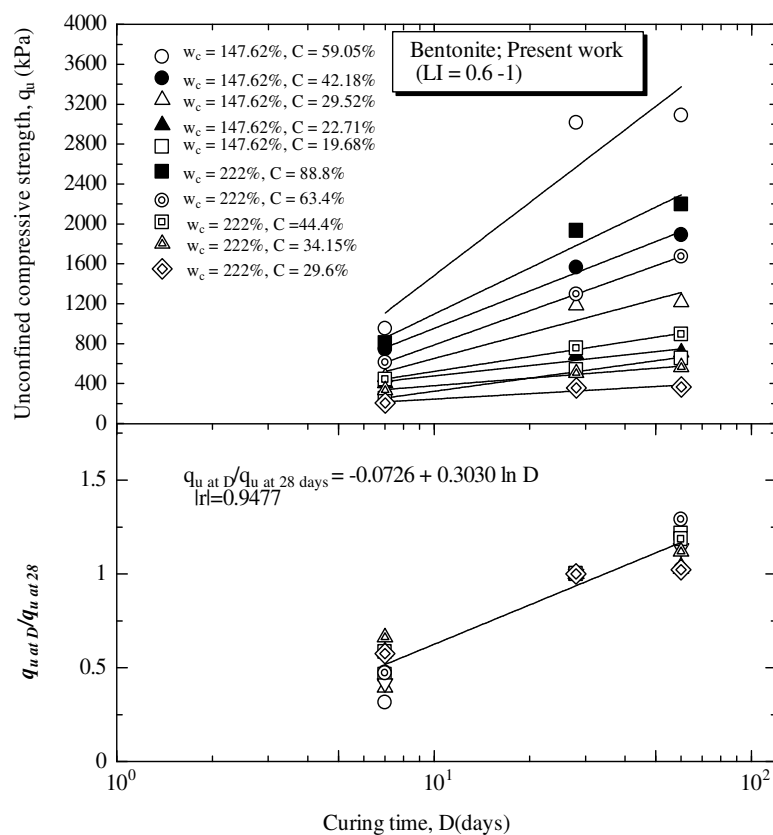
สำหรับдинที่มีการบวนตัวต่ำ (7 – 60 วัน)

$$\frac{q_D}{q_{28}} = 0.2132 + 0.2394 \ln D \quad (4.5\text{g})$$

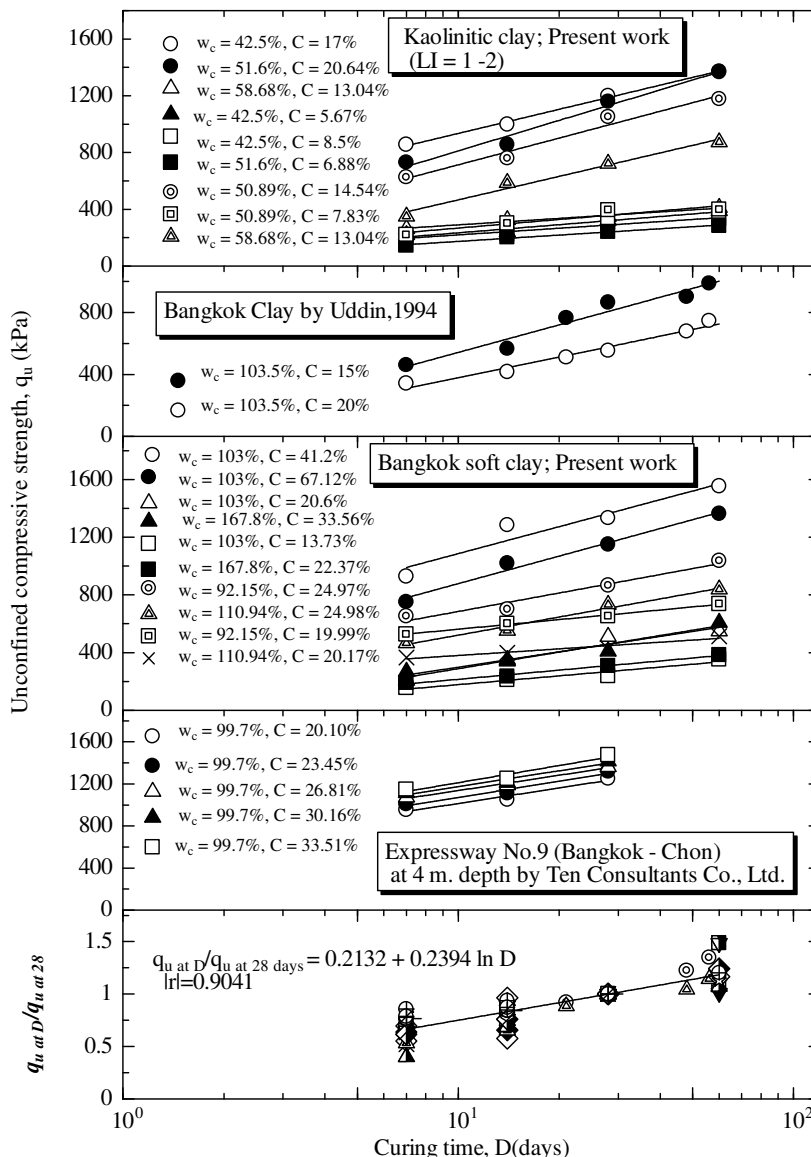
สำหรับдинที่มีการบวนตัวสูง (7 – 60 วัน)

$$\frac{q_D}{q_{28}} = -0.0726 + 0.3030 \ln D \quad (4.5\text{h})$$

ข้อพบว่าอัตราการพัฒนากำลังอัดแกนเดียวยของдинซีเมนต์สำหรับдинบวนตัวต่ำและสูงดัง ในสมการที่ 4.5 นั้นให้ผลไกล์เดียวกันมากในช่วงเวลาที่สูงขึ้น



ก) ดินที่มีการบวนตัวสูง



ข) ดินที่มีการบวมตัวต่ำ

ภาพที่ 4.13 ความสัมพันธ์ระหว่างกำลังแกนเดียวและอายุบ่มของดินซีเมนต์และการ

Normalization

จากผลทดสอบแสดงว่าค่าอัตราส่วนการบวมตัวอิสระไม่มีผลต่อกำลังอัดแกนเดียวของดินซีเมนต์หากแต่มีผลต่อช่วงปริมาณความชื้นที่ไม่มีผลต่อกำลังอัดแกนเดียวเท่านั้น ดังนั้นอัตราการเปลี่ยนแปลงกำลังอัดแกนเดียวของดินครอปคลุ่มดินไม่บวมตัวถึงบวมตัวสูงแสดงในภาพที่ 4.14 และสมการที่ 4.6

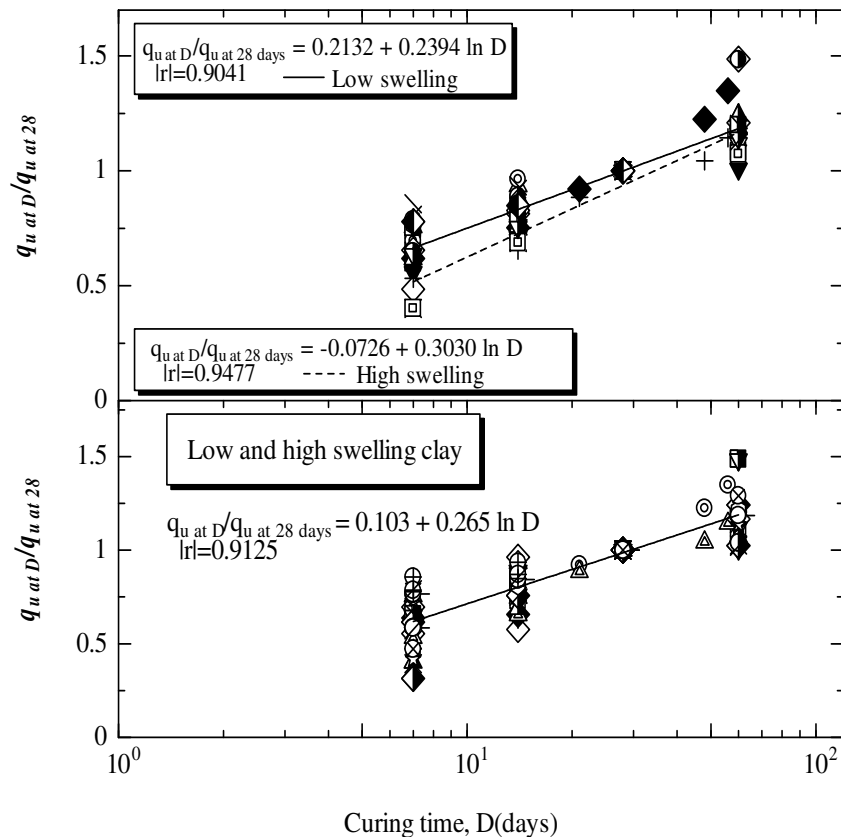
สำหรับดินที่มีการบวมตัวต่ำและสูง (7 – 60 วัน)

$$\frac{q_D}{q_{28}} = 0.103 + 0.265 \ln D \quad (4.6)$$

และพบว่ามีผลทดสอบไอล์เคียงกับงานศึกษาในอดีต Horpibulsuk et al., 2003 มากสำหรับกรณีที่ดินมีปริมาณความชื้นเริ่มต้นเท่ากับ 1 ถึง 2.5 เท่าของดัชนีเหลวดังสมการข้างล่างนี้

Horpibulsuk et al., 2003 For $L/I = 1.0 \sim 2.5$

$$\frac{q_D}{q_{28}} = 0.038 + 0.281 \ln D \quad (4.7)$$



ภาพที่ 4.14 ความสัมพันธ์ระหว่าง Normalization ของกำลังแกนเดี่ยวและอายุบ่มของดินบวมตัวต่ำและบวมตัวสูงผสมซึ่งเมนต์

3. ความสัมพันธ์ระหว่างกำลังอัดแกนเดียว อัตราส่วนปริมาณความชื้นในดินต่อปริมาณซีเมนต์และอายุบ่ำ

จากการศึกษา เรายพบว่าค่าของ B มีค่าประมาณ 1.40 ทั้งสำหรับดินบ่ำตัวต่ำและดินบ่ำตัวสูงด้วยเหตุนี้เอง ทำให้เราได้สมการอัตราส่วนกำลังที่อายุบ่ำได้ฯ ซึ่งค่าของ A จะถูกตัดทอนออกไป จากการรวมสมการดังกล่าวนี้กับสมการอัตราการเพิ่มขึ้นของกำลังอัดแกนเดียว ซึ่งแบ่งผันตามอายุบ่ำเท่านั้น เราจะได้ความสัมพันธ์ระหว่างกำลังอัดแกนเดียว อัตราส่วนปริมาณความชื้นต่อปริมาณซีเมนต์ และอายุบ่ำ ในช่วงที่ w_c/C มีค่าระหว่าง 2.5 ถึง 7.5 ดังนี้

สำหรับดินที่มีการบ่ำตัวต่ำและสูง (7 – 60 วัน)

$$\left\{ \frac{q_{(w_c/C)_D}}{q_{(w_c/C)_{28}}} \right\} = \left[\frac{(w_c/C)_{28}}{(w_c/C)_D} \right]^{1.40} (0.103 + 0.265 \ln D) \quad (4.8)$$

Relative correlation = 0.9125

เมื่อ $q_{(w_c/C)_{1,D}}$ คือกำลังอัดแกนเดียวของดินซีเมนต์ที่ต้องการทราบ ที่ w_c/C หลังจากอายุบ่ำ D วัน $q_{(w_c/C)_{28}}$ คือกำลังอัดแกนเดียวของดินซีเมนต์ที่ทราบค่า ที่ระยะบ่ำ 28 วัน

ดังนี้เพื่อตรวจสอบความแม่นยำของสมการทำนายกำลังอัดแกนเดียวดินซีเมนต์ อาศัยสมการที่ 4.8 แสดงในตารางที่ 4.4 ถึง 4.6 ในงานออกแบบส่วนผสมของการก่อสร้างเสาเข็มดินซีเมนต์บริเวณโครงการก่อสร้างทางหลวงพิเศษหมายเลข 9 ตอนวงแหวนรอบนอกตะวันออก (ตอน 3C/1) สุขุมวิท 3 กม. 43+900, งานออกแบบส่วนผสมงานก่อสร้างเสาเข็มดินซีเมนต์โครงการก่อสร้างทางหลวงหมายเลข 3256 อำเภอบางพลี - ลาดกระบัง และงานออกแบบส่วนผสมของการก่อสร้างทางหลวงหมายเลข 9 ตอนวงแหวนรอบนอกตะวันออก (ตอน3) อำเภอบางพลี - อำเภอธัญบุรี ตามลำดับ เช่นเดียวกับดินเหนียวของประเทศไทยปูนโดย Kawasaki et al., 1981 และดินเหนียว Tokyo (Tatsuoka and Kobayashi, 1983) ซึ่งมีคุณสมบัติพื้นฐานดังตารางที่ 4.3

ตารางที่ 4.3
คุณสมบัติพื้นฐานของดินที่ประเทศไทยญี่ปุ่น

Location	Sand content	w_r	LL	PL	Humus content	Remark	
	(%)	(%)	(%)	(%)	(%)	pH	
Tokyo	1	99.6	90.5	35.2	0.39	7.2	Kawasaki et al., 1981
Mie	44	61.0	55.8	24.0	0.34	6.6	
Osaka	5	113.0	95.0	29.9	0.37	7.5	
Hiroshima	3	136.3	121.0	36.1	0.54	7.3	
Kangawa	16	109.7	91.0	31.5	0.71	6.7	
Aichi	5	99.3	83.4	23.4	0.60	7.4	
Tatsuoka and							
Tokyo	3.9	120	97	46	-	-	Kobayashi, 1983

ตารางที่ 4.4
การทำนายกำลังอัดแกนเดียวยูบริเก้นโครงสร้างก่อสร้างทางหลวงพิเศษหมายเลข 9 ตอนวงแหวน
รอบนอกตะวันออก (ตอน 3C/1) สุขุมวิท 3 กม. ที่ 43+900
($LL = 80 - 91.5\%$, $PL = 25 - 29.6\%$, รายงานผลทดสอบจากกรมทางหลวง, 2549)

Depth (m.)	Curing time, (days)	Clay-					$\frac{ q_{up} - q_{ul} }{q_{ul}} \times 100$ %	
		Cement content,	Water content,	water/cement ratio, w_c/C	Laboratory strength, q_{ul} (kPa)	Predicted strength, q_{up} (kPa)		
3	7	24.12	122.62	5.08	631	621.42	1.52	
	14	24.12	122.62	5.08	758	805.93	6.32	
	28	24.12	122.62	5.08	1053	990.43	5.94	
	7	25.50	124.00	4.86	703	661.27	5.94	
	14	25.50	124.00	4.86	874	857.60	1.88	
	28	25.50	124.00	4.86	1121	1053.94	5.98	
	7	27.57	126.06	4.57	793	720.65	9.12	
	14	27.57	126.06	4.57	920	934.62	1.59	

ตารางที่ 4.4 (ต่อ)

Depth (m.)	Curing <i>D</i> (days)	Cement content, C (%)	Water content, <i>w_c</i> (%)	water/cement ratio, <i>w_c</i> /C	Clay- water		$\frac{ q_{up} - q_{ul} }{q_{ul}} \times 100$ %
					Laboratory strength, <i>q_{ul}</i> (kPa)	Predicted strength, <i>q_{up}</i> (kPa)	
	28	27.57	126.06	4.57	1175	1148.58	2.25
6	7	22.03	108.33	4.92	565	650.91	15.21
	14	22.03	108.33	4.92	722	844.17	16.92
	28	22.03	108.33	4.92	999	1037.43	3.85
	7	23.29	109.59	4.71	634	692.29	9.19
	14	23.29	109.59	4.71	773	897.83	16.15
	28	23.29	109.59	4.71	1119	Reference	1.40
	7	25.18	111.48	4.43	668	753.88	12.86
	14	25.18	111.48	4.43	918	977.71	6.50
	28	25.18	111.48	4.43	1236	1201.54	2.79
9	7	18.80	89.60	4.77	552	680.04	23.20
	14	18.80	89.60	4.77	658	881.95	34.04
	28	18.80	89.60	4.77	807	1083.86	34.31
	7	19.87	90.67	4.56	638	722.90	13.31
	14	19.87	90.67	4.56	775	937.53	20.97
	28	19.87	90.67	4.56	940	1152.16	22.57
	7	21.48	92.28	4.30	705	786.63	11.58
	14	21.48	92.28	4.30	900	1020.18	13.35
	28	21.48	92.28	4.30	1090	1253.73	15.02
Mean Absolute Percent Error, MAPE (MAPE = $\frac{1}{n} \sum_{i=1}^n \frac{ q_{up} - q_{ul} }{q_{ul}} \times 100$)							11.62 %

ตารางที่ 4.5

การทํานายกำลังอัดแกนเดี่ยวบริเวณโครงการก่อสร้างเสารัมมีเมืองทางหลวงหมายเลข 3256

อำเภอบางพลี - ลาดกระบัง ($LL = 70 - 80\%$, $PL = 29 - 30.7\%$)

(รายงานผลทดสอบจากกรมทางหลวง, 2549)

Depth (m.)	Curing time, <i>D</i> (days)	Clay-				$\frac{ q_{up} - q_{ul} }{q_{ul}} \times 100$	
		Cement content,	Water content,	water/cement ratio, w_c/C	Laboratory strength, q_{ul} (kPa)		
		C (%)	w_c (%)		Predicted strength, q_{up} (kPa)		
3	7	19.74	110.54	5.60	358.6	413.88	15.42
	14	19.74	110.54	5.60	499.8	536.77	7.40
	28	19.74	110.54	5.60	669	Reference	1.40
	7	23.03	113.83	4.94	453.2	492.92	8.76
	14	23.03	113.83	4.94	614.4	639.27	4.05
	28	23.03	113.83	4.94	864.6	785.62	9.13
	7	26.32	117.12	4.45	592.6	571.01	3.64
	14	26.32	117.12	4.45	770.2	740.54	3.85
	28	26.32	117.12	4.45	1010.4	910.08	9.93
	7	32.89	123.70	3.76	761.8	722.91	5.10
6	14	32.89	123.70	3.76	940.4	937.55	0.30
	28	32.89	123.70	3.76	1196.6	1152.18	3.71
	7	19.14	100.34	5.24	439.2	454.00	3.37
	14	19.14	100.34	5.24	556	588.79	5.90
	28	19.14	100.34	5.24	758.2	723.58	4.57
	7	22.33	103.53	4.63	516.8	539.20	4.33
	14	22.33	103.53	4.63	673.4	699.29	3.84
	28	22.33	103.53	4.63	927.8	859.38	7.37
	7	25.52	106.72	3.18	596.2	913.39	53.20
	14	25.52	106.72	3.18	808.4	1184.58	46.53
7	28	25.52	106.72	3.18	1060.6	1455.77	37.26
	31.90	113.10	3.54	742.8	784.97	5.68	

ตารางที่ 4.5 (ต่อ)

Depth (m.)	Curing time, <i>D</i> (days)	Clay-			Laboratory strength, <i>q_{ul}</i> (kPa)	Predicted strength, <i>q_{up}</i> (kPa)	$\frac{ q_{up} - q_{ul} }{q_{ul}} \times 100$ %
		Cement content,	Water content,	water/cement ratio, <i>w_c</i> /C			
		<i>C</i> (%)	<i>w_c</i> (%)	<i>q_{ul}</i> (kPa)			
	14	31.90	113.10	3.54	958.8	1018.03	6.18
	28	31.90	113.10	3.54	1261	1251.09	0.79
12	7	17.06	95.66	5.61	463.2	413.27	10.78
	14	17.06	95.66	5.61	600.8	535.97	10.79
	28	17.06	95.66	5.61	791.8	658.67	16.81
	7	19.90	98.50	4.95	543.8	492.20	9.49
	14	19.90	98.50	4.95	711.6	638.34	10.29
	28	19.90	98.50	4.95	946.2	784.48	17.09
	7	22.75	101.35	4.45	646.2	570.20	11.76
	14	22.75	101.35	4.45	836	739.50	11.54
	28	22.75	101.35	4.45	1101	908.79	17.46
	7	28.44	107.04	3.76	788.2	721.95	8.41
	14	28.44	107.04	3.76	1051	936.29	10.91
	28	28.44	107.04	3.76	1347.6	1150.64	14.62
Mean Absolute Percent Error, MAPE (MAPE = $\frac{1}{n} \sum_{i=1}^n \frac{ q_{up} - q_{ul} }{q_{ul}} \times 100$)							
11.16 %							

ตารางที่ 4.6

การคำนวณค่าดัชนี MAPE ของผลลัพธ์ที่ได้จากการทดสอบตัวอย่างที่ 9 ตอน
วงแหวนรอบนอกตะวันออก (ตอน 3) ตอนอิมเมจบองพลี – ชัยภูมิ

(*LL* = 60 – 90.4%, *PL* = 24.4 – 30.5%, รายงานผลทดสอบจากกรมทางหลวง, 2549)

Depth (m.)	Curing time, <i>D</i> (days)	Clay-			Laboratory strength, <i>q_{ul}</i> (kPa)	Predicted strength, <i>q_{up}</i> (kPa)	$\frac{ q_{up} - q_{ul} }{q_{ul}} \times 100$ %
		Cement content,	Water content,	water/cement ratio, <i>w_c</i> /C			
		<i>C</i> (%)	<i>w_c</i> (%)	<i>q_{ul}</i> (kPa)			
3	7	20.95	106.7	5.09	872.8	898.92	2.99
	14	20.95	106.7	5.09	1167.2	1165.81	0.12

ตารางที่ 4.6 (ต่อ)

Depth (m.)	Curing time, D (days)	Cement content, C (%)	Water content, w_c (%)	Clay-		$\frac{ q_{up} - q_{ul} }{q_{ul}} \times 100$	
				water/cement ratio, w_c/C	Laboratory strength, q_{ul} (kPa)		
					q_{ul} (kPa)	q_{up} (kPa)	
						%	
	28	20.95	106.7	5.09	1453	Reference	1.40
	7	24.44	106.7	4.37	1007.8	1115.44	10.68
	14	24.44	106.7	4.37	1378	1446.62	4.98
	28	24.44	106.7	4.37	1744.8	1777.80	1.89
	7	27.93	106.7	3.82	1261.6	1344.73	6.59
	14	27.93	106.7	3.82	1627.6	1743.99	7.15
	28	27.93	106.7	3.82	1969.2	2143.25	8.84
	7	34.92	106.7	3.06	1596.2	1837.85	15.14
	14	34.92	106.7	3.06	1996.4	2383.51	19.39
	28	34.92	106.7	3.06	2249.8	2929.18	30.20
6	7	21.45	114.5	5.34	803.00	841.75	4.83
	14	21.45	114.5	5.34	985.40	1091.67	10.78
	28	21.45	114.5	5.34	1245.60	1341.59	7.71
	7	25.025	114.5	4.58	992.20	1044.50	5.27
	14	25.025	114.5	4.58	1180.60	1354.62	14.74
	28	25.025	114.5	4.58	1463.20	1664.74	13.77
	7	28.6	114.5	4.00	1224.20	1259.21	2.86
	14	28.6	114.5	4.00	1446.20	1633.08	12.92
	28	28.6	114.5	4.00	1694.40	2006.94	18.45
	7	35.75	114.5	3.20	1676.20	1720.97	2.67
	14	35.75	114.5	3.20	1932.20	2231.93	15.51
	28	35.75	114.5	3.20	2168.20	2742.89	26.51

ตารางที่ 4.7

การคำนวณกำลังขัดแกรนเดียวบริเวณเมืองต่าง ๆ ของประเทศไทย

(Kawasaki et al., 1981 and Tatsuoka and Kobayashi, 1983) LI = 1 – 2

Location	Curing time, (days)		Clay-water/cement ratio, w_c/C		Laboratory strength, q_{ul} (kPa)	Predicted strength, q_{up} (kPa)	$\frac{ q_{up} - q_{ul} }{q_{ul}} \times 100$ %
	D	C (%)	w_c (%)				
Aichi LL=83.4%, PL =23.4% (Kawasaki et al,1981)	7	20.0	99.3	5.0	925	757.15	18.15
	28	20.0	99.3	5.0	1889	1206.75	36.12
	7	30.0	99.3	3.3	1079	1335.70	23.79
	28	30.0	99.3	3.3	2159	Reference	1.40
	60	30.0	99.3	3.3	2872	2564.89	10.69
Mie LL=55.8%, PL = 24% (Kawasaki et al,1981)	7	20.0	56.7	2.8	810	912.66	12.67
	28	20.0	56.7	2.8	1465	1454.61	0.71
	60	20.0	56.7	2.8	1754	1752.55	0.08
	7	10.0	56.7	5.7	347	345.83	0.34
	28	10.0	56.7	5.7	559	Reference	1.40
	60	10.0	56.7	5.7	771	664.09	13.87
Osaka LL = 95%, PL =29.9% (Kawasaki et al,1981)	7	20	113.5	5.68	901	692.97	23.09
	28	20	113.5	5.68	1707	1104.46	35.30
	60	20	113.5	5.68	2052	1330.69	35.15
	7	30	113.5	3.78	1036	1222.48	18.00
	28	30	113.5	3.78	1976	Reference	1.40
	60	30	113.5	3.78	2513	2347.49	6.59
Hiroshima LL =121%, PL =36.1% (Kawasaki et al,1981)	7	20	136.3	6.82	1745	1507.07	13.63
	28	20	136.3	6.82	2436	2401.98	1.40
	60	20	136.3	6.82	2877	Reference	0.59
	7	30	136.3	4.54	2589	2.69	2.69
	28	30	136.3	4.54	3952	7.22	7.22
	60	30	136.3	4.54	4508	13.25	13.25
Kanagawa LL = 91%,	7	20	109.7	5.49	2384	1769.95	25.76
	28	20	109.7	5.49	3120	2820.96	9.58

ตารางที่ 4.7 (ต่อ)

Location	Curing time, (days)		Clay-water/cement ratio, w_c/C		Laboratory strength, q_{ul} (kPa)	Predicted strength, q_{up} (kPa)	$\frac{ q_{up} - q_{ul} }{q_{ul}} \times 100$ %
	D	C (%)	w_c (%)				
(Kawasaki et al, 1981)	60	20	109.7	5.49	3560	3398.78	4.53
	7	30	109.7	3.66	3623	3122.41	13.82
	28	30	109.7	3.66	5047	Reference	1.40
	60	30	109.7	3.66	5340	5995.84	12.28
Tokyo	7	30	99.6	3.32	4321	3756.541	13.06
LL=90.5%, PL =35.2%	28	30	99.6	3.32	6072	Reference	1.40
PL =31.5%	60	30	99.6	3.32	6825	7213.544	5.69
Tokyo by Tatsuoka and Kobayashi, 1983							
LL = 97%, PL = 46%	8	20	140	7	2254	1996.17	11.43
PL = 46%	28	20	140	7	3052	Reference	1.39
Mean Absolute Percent Error, MAPE ($MAPE = \frac{1}{n} \sum_{i=1}^n \frac{ q_{up} - q_{ul} }{q_{ul}} \times 100$)							
22.06 %							

จากตารางที่ 4.4 ถึง 4.7 เรายสามารถสรุปได้ว่าสมการคำนวณกำลังอัดแกนเดียวของ din ซีเมนต์มีประสิทธิภาพและช่วยในการคำนวณกำลังอัดแกนเดียวเพียงทำการทดสอบเดียวที่ระยะเวลา 28 วันเท่านั้น ในช่วงอัตราส่วนปริมาณความชื้นในดินต่อซีเมนต์เท่ากับ 2.5 ถึง 7.5 และอายุบ่ำ 7 ถึง 60 วัน ผลการทำนายที่ได้มีค่าใกล้เคียงกับผลทดสอบมากด้วยค่า Mean Absolute Percent Error สำหรับดินกรุงเทพฯ สำหรับงานออกแบบส่วนผสมของการก่อสร้างเสาเข็ม din ซีเมนต์บริเวณโครงการก่อสร้างทางหลวงพิเศษหมายเลข 9 ตอนวงแหวนรอบนอกตะวันออก (ตอน 3C/1) สุขุมวิท 3 กม. 43+900, งานออกแบบส่วนผสมงานก่อสร้างเสาเข็ม din ซีเมนต์โครงการก่อสร้างทางหลวงหมายเลข 3256 อำเภอบางพลี - ลาดกระบัง และงานออกแบบส่วนผสมของการก่อสร้างเสาเข็ม din ซีเมนต์บริเวณโครงการก่อสร้างทางหลวงพิเศษหมายเลข 9 ตอนวงแหวนรอบนอกตะวันออก (ตอน 3) อำเภอบางพลี - อำเภอธัญบุรี เท่ากับ 11.62 %, 11.16% และ 10.22% ตามลำดับ ดังนั้นพบว่าความผิดพลาดที่เกิดขึ้นอยู่ในเกณฑ์ที่ยอมรับได้ในงานวิศวกรรม และใน

กรณีของดินเหนียวที่ประทัดญี่ปุ่นผสมซีเมเนต์ (Kawasaki et al., 1981 และ Tatsuoka and Kobayashi, 1983) มีค่า MAPE เท่ากับ 22.06 %